

Ледовые условия сезона 2022–2023 гг.

Графики ледовитости дальневосточных морей, представленные на рис. 6-1–6-3, построены на основе средней декадной ледовитости в % относительно общей площади моря для Охотского и Берингова морей и относительно площади предельного распространения льда для Японского моря. При характеристике ледовых условий используется классификация: умеренная ($\pm\sigma$ от нормы), большая (больше нормы на σ и более) и малая (меньше нормы на σ и более) ледовитость; норма определяется за период 1971–2000 гг., σ – среднее квадратическое отклонение.

Японское море

Большая часть сезона в Японском море была мягкой – стандартизованные аномалии в периоды с третьей декады декабря по вторую декаду января и в марте были в пределах $-1,2\sigma \dots -1,7\sigma$. В начале сезона, в период максимального развития ледяного покрова и в период его разрушения в середине апреля условия были близкими к климатическим (стандартизованные аномалии от $-0,6\sigma$ до $+0,2\sigma$). На стадии разрушения ледяного покрова, в конце апреля и начале мая, ледовитость моря значительно превышала среднюю многолетнюю (стандартизованные аномалии превышали $2,0\sigma$), что является распространенным явлением в связи с высокой изменчивостью параметра на границах сезона. Длился ледовый сезон с конца ноября по первую декаду мая. Максимальная ледовитость моря отмечалась во второй декаде февраля, составила 42% относительно площади предельного распространения льда, что близко к норме как по срокам, так и по площади распространения льда (рис. 6-1). Активное разрушение ледяного покрова началось во второй половине марта, очищение ото льда произошло в середине мая.

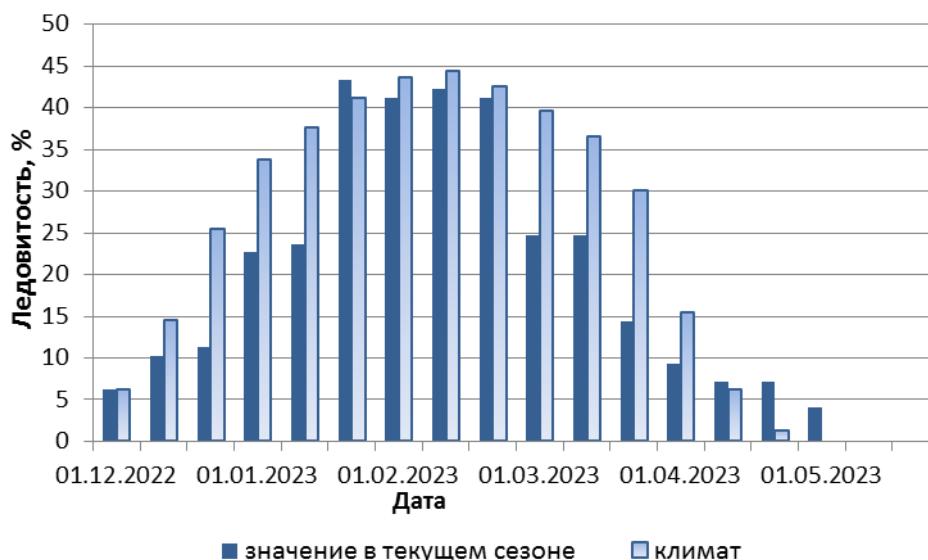


Рис. 6-1 Ледовитость Японского моря по декадам за сезон 2022–2023 гг.

**Обзор гидрометеорологических процессов и оценки текущего состояния
дальневосточных морей за 2023 год
Ледовые условия**

Охотское море

В течение сезона ледовые условия были мягкими либо близкими к норме – преобладали отрицательные стандартизованные аномалии от $-0,2\sigma$ до $-2,3\sigma$. Сезон начался в середине ноября. Ледовитость моря устойчиво нарастала вплоть до первой декады марта, когда достигла 70 % относительно общей площади моря. Максимум наступил раньше среднего многолетнего срока на одну декаду, площадь льда при этом была незначительно меньше нормы (стандартизованная аномалия – $-0,5\sigma$). В дальнейшем также устойчиво наблюдалось разрушение ледяного покрова (рис. 6-2). Очищение ото льда наступило в первой декаде июня.



Рис. 6-2 Ледовитость Охотского моря по декадам за сезон 2022–2023 гг.

**Обзор гидрометеорологических процессов и оценки текущего состояния
дальневосточных морей за 2023 год
Ледовые условия**

Берингово море

Большую часть сезона ледовые условия незначительно отличались от средних многолетних, были умеренными. Это не относится к началу сезона, когда дефицит площади льда достигал 8% (стандартизированные аномалии составляли $-1,3\sigma \dots -1,4\sigma$), к третьей декаде января и второй декаде февраля, когда ледовитость моря превышала норму на 8 и 7% соответственно (стандартизированные аномалии соответственно $-1,4\sigma$ и $1,1\sigma$). Начался сезон в первой декаде декабря, затем ледяной покров устойчиво формировался вплоть до второй декады января. После незначительного разрушения во второй декаде февраля отмечался сезонный максимум ледовитости, площадь льда достигла 37% относительно общей площади моря (превысила декадную норму на 7%). Вторичный максимум ледовитости пришелся на вторую декаду марта, что близко к климатическим срокам и характеру проявления. Устойчивое разрушение ледяного покрова началось лишь с третьей декады апреля, его скорость и сроки также близки к климатическим (рис. 6-3).



Рис. 6-3 Ледовитость Берингова моря по декадам за сезон 2022–2023 гг.